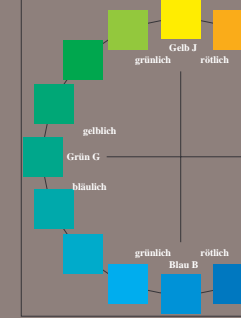




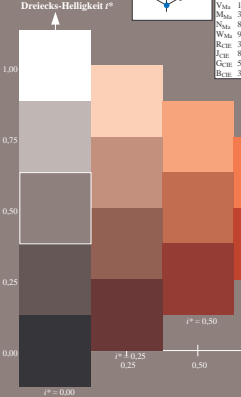
Ein und Ausgabe: Farbmetrisches Drucker-Reflexiv-System FR509. 92a  
 Daten für jede Farbe:  
 $u^*c$  und Nummer  $N_r = 00...15$   
 Elementar-Bunttonexte:  
 $u^*c = 16$  Bunttonexte  $r00r, r25j, \dots, b75r$   
 Kontrastreduzierungs-faktor:  
 $c_{kr} = 1.0$

FR509 92a adaptierte CIELAB-Daten		FR509 92a adaptierte CIELAB-Daten	
$L^*$	$a^*$	$b^*$	$N_r$
009	35.47	63.32	30.17
015	39.12	54.56	49.45
021	50.64	39.15	64.89
027	64.01	21.26	82.83
033	83.18	-4.38	108.53
039	66.73	-29.89	83.06
045	54.03	-48.31	63.49
051	44.73	-60.33	42.64
057	40.09	-49.08	15.74
063	23.80	-30.38	0.00
069	15.85	-23.23	-24.35
075	8.77	-10.92	-39.14
081	5.04	-6.27	-48.24
087	2.66	-2.91	-59.43
093	1.45	-1.53	-69.84
099	0.79	-0.81	-78.76
105	0.48	-0.51	-85.48
111	0.26	-0.28	-90.00
117	0.14	-0.15	-93.00
123	0.07	-0.08	-94.50
129	0.04	-0.04	-95.00
135	0.02	-0.02	-95.00
141	0.01	-0.01	-95.00
147	0.00	0.00	-95.00
153	0.00	0.00	-95.00
159	0.00	0.00	-95.00
165	0.00	0.00	-95.00
171	0.00	0.00	-95.00
177	0.00	0.00	-95.00
183	0.00	0.00	-95.00
189	0.00	0.00	-95.00
195	0.00	0.00	-95.00
201	0.00	0.00	-95.00
207	0.00	0.00	-95.00
213	0.00	0.00	-95.00
219	0.00	0.00	-95.00
225	0.00	0.00	-95.00
231	0.00	0.00	-95.00
237	0.00	0.00	-95.00
243	0.00	0.00	-95.00
249	0.00	0.00	-95.00
255	0.00	0.00	-95.00



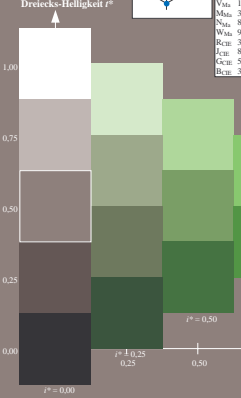
Ein und Ausgabe: Farbmetrisches Drucker-Reflexiv-System FR509. 92, L\* = 09. 92 für relative CIELAB-Buntton  $h^* = lab^*h^* = h_{ab}^*/360 = 0.164$   $u^*c = r50j$

FR509 92a adaptierte CIELAB-Daten		FR509 92a adaptierte CIELAB-Daten	
$L^*$	$a^*$	$b^*$	$N_r$
009	35.47	63.32	30.17
015	39.12	54.56	49.45
021	50.64	39.15	64.89
027	64.01	21.26	82.83
033	83.18	-4.38	108.53
039	66.73	-29.89	83.06
045	54.03	-48.31	63.49
051	44.73	-60.33	42.64
057	40.09	-49.08	15.74
063	23.80	-30.38	0.00
069	15.85	-23.23	-24.35
075	8.77	-10.92	-39.14
081	5.04	-6.27	-48.24
087	2.66	-2.91	-59.43
093	1.45	-1.53	-69.84
099	0.79	-0.81	-78.76
105	0.48	-0.51	-85.48
111	0.26	-0.28	-90.00
117	0.14	-0.15	-93.00
123	0.07	-0.08	-94.50
129	0.04	-0.04	-95.00
135	0.02	-0.02	-95.00
141	0.01	-0.01	-95.00
147	0.00	0.00	-95.00
153	0.00	0.00	-95.00
159	0.00	0.00	-95.00
165	0.00	0.00	-95.00
171	0.00	0.00	-95.00
177	0.00	0.00	-95.00
183	0.00	0.00	-95.00
189	0.00	0.00	-95.00
195	0.00	0.00	-95.00
201	0.00	0.00	-95.00
207	0.00	0.00	-95.00
213	0.00	0.00	-95.00
219	0.00	0.00	-95.00
225	0.00	0.00	-95.00
231	0.00	0.00	-95.00
237	0.00	0.00	-95.00
243	0.00	0.00	-95.00
249	0.00	0.00	-95.00
255	0.00	0.00	-95.00



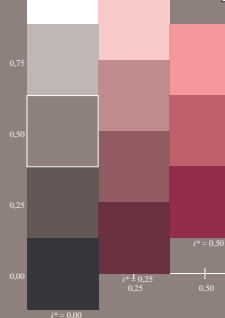
Ein und Ausgabe: Farbmetrisches Drucker-Reflexiv-System FR509. 92, L\* = 09. 92 für relative CIELAB-Buntton  $h^* = lab^*h^* = h_{ab}^*/360 = 0.305$   $u^*c = r25j$

FR509 92a adaptierte CIELAB-Daten		FR509 92a adaptierte CIELAB-Daten	
$L^*$	$a^*$	$b^*$	$N_r$
009	35.47	63.32	30.17
015	39.12	54.56	49.45
021	50.64	39.15	64.89
027	64.01	21.26	82.83
033	83.18	-4.38	108.53
039	66.73	-29.89	83.06
045	54.03	-48.31	63.49
051	44.73	-60.33	42.64
057	40.09	-49.08	15.74
063	23.80	-30.38	0.00
069	15.85	-23.23	-24.35
075	8.77	-10.92	-39.14
081	5.04	-6.27	-48.24
087	2.66	-2.91	-59.43
093	1.45	-1.53	-69.84
099	0.79	-0.81	-78.76
105	0.48	-0.51	-85.48
111	0.26	-0.28	-90.00
117	0.14	-0.15	-93.00
123	0.07	-0.08	-94.50
129	0.04	-0.04	-95.00
135	0.02	-0.02	-95.00
141	0.01	-0.01	-95.00
147	0.00	0.00	-95.00
153	0.00	0.00	-95.00
159	0.00	0.00	-95.00
165	0.00	0.00	-95.00
171	0.00	0.00	-95.00
177	0.00	0.00	-95.00
183	0.00	0.00	-95.00
189	0.00	0.00	-95.00
195	0.00	0.00	-95.00
201	0.00	0.00	-95.00
207	0.00	0.00	-95.00
213	0.00	0.00	-95.00
219	0.00	0.00	-95.00
225	0.00	0.00	-95.00
231	0.00	0.00	-95.00
237	0.00	0.00	-95.00
243	0.00	0.00	-95.00
249	0.00	0.00	-95.00
255	0.00	0.00	-95.00



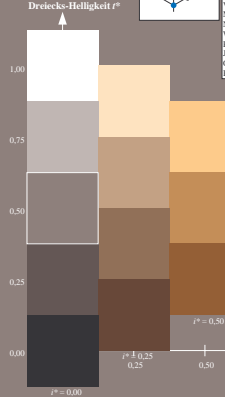
Ein und Ausgabe: Farbmetrisches Drucker-Reflexiv-System FR509. 92, L\* = 09. 92 für relative CIELAB-Buntton  $h^* = lab^*h^* = h_{ab}^*/360 = 0.071$   $u^*c = r00j$

FR509 92a adaptierte CIELAB-Daten		FR509 92a adaptierte CIELAB-Daten	
$L^*$	$a^*$	$b^*$	$N_r$
009	35.47	63.32	30.17
015	39.12	54.56	49.45
021	50.64	39.15	64.89
027	64.01	21.26	82.83
033	83.18	-4.38	108.53
039	66.73	-29.89	83.06
045	54.03	-48.31	63.49
051	44.73	-60.33	42.64
057	40.09	-49.08	15.74
063	23.80	-30.38	0.00
069	15.85	-23.23	-24.35
075	8.77	-10.92	-39.14
081	5.04	-6.27	-48.24
087	2.66	-2.91	-59.43
093	1.45	-1.53	-69.84
099	0.79	-0.81	-78.76
105	0.48	-0.51	-85.48
111	0.26	-0.28	-90.00
117	0.14	-0.15	-93.00
123	0.07	-0.08	-94.50
129	0.04	-0.04	-95.00
135	0.02	-0.02	-95.00
141	0.01	-0.01	-95.00
147	0.00	0.00	-95.00
153	0.00	0.00	-95.00
159	0.00	0.00	-95.00
165	0.00	0.00	-95.00
171	0.00	0.00	-95.00
177	0.00	0.00	-95.00
183	0.00	0.00	-95.00
189	0.00	0.00	-95.00
195	0.00	0.00	-95.00
201	0.00	0.00	-95.00
207	0.00	0.00	-95.00
213	0.00	0.00	-95.00
219	0.00	0.00	-95.00
225	0.00	0.00	-95.00
231	0.00	0.00	-95.00
237	0.00	0.00	-95.00
243	0.00	0.00	-95.00
249	0.00	0.00	-95.00
255	0.00	0.00	-95.00



Ein und Ausgabe: Farbmetrisches Drucker-Reflexiv-System FR509. 92, L\* = 09. 92 für relative CIELAB-Buntton  $h^* = lab^*h^* = h_{ab}^*/360 = 0.21$   $u^*c = r75j$

FR509 92a adaptierte CIELAB-Daten		FR509 92a adaptierte CIELAB-Daten	
$L^*$	$a^*$	$b^*$	$N_r$
009	35.47	63.32	30.17
015	39.12	54.56	49.45
021	50.64	39.15	64.89
027	64.01	21.26	82.83
033	83.18	-4.38	108.53
039	66.73	-29.89	83.06
045	54.03	-48.31	63.49
051	44.73	-60.33	42.64
057	40.09	-49.08	15.74
063	23.80	-30.38	0.00
069	15.85	-23.23	-24.35
075	8.77	-10.92	-39.14
081	5.04	-6.27	-48.24
087	2.66	-2.91	-59.43
093	1.45	-1.53	-69.84
099	0.79	-0.81	-78.76
105	0.48	-0.51	-85.48
111	0.26	-0.28	-90.00
117	0.14	-0.15	-93.00
123	0.07	-0.08	-94.50
129	0.04	-0.04	-95.00
135	0.02	-0.02	-95.00
141	0.01	-0.01	-95.00
147	0.00	0.00	-95.00
153	0.00	0.00	-95.00
159	0.00	0.00	-95.00
165	0.00	0.00	-95.00
171	0.00	0.00	-95.00
177	0.00	0.00	-95.00
183	0.00	0.00	-95.00
189	0.00	0.00	-95.00
195	0.00	0.00	-95.00
201	0.00	0.00	-95.00
207	0.00	0.00	-95.00
213	0.00	0.00	-95.00
219	0.00	0.00	-95.00
225	0.00	0.00	-95.00
231	0.00	0.00	-95.00
237	0.00	0.00	-95.00
243	0.00	0.00	-95.00
249	0.00	0.00	-95.00
255	0.00	0.00	-95.00



Ein und Ausgabe: Farbmetrisches Drucker-Reflexiv-System FR509. 92, L\* = 09. 92 für relative CIELAB-Buntton  $h^* = lab^*h^* = h_{ab}^*/360 = 0.354$   $u^*c = r50j$

FR509 92a adaptierte CIELAB-Daten		FR509 92a adaptierte CIELAB-Daten	
$L^*$	$a^*$	$b^*$	$N_r$
009	35.47	63.32	30.17
015	39.12	54.56	49.45
021	50.64	39.15	64.89
027	64.01	21.26	82.83
033	83.18	-4.38	108.53
039	66.73	-29.89	83.06
045	54.03	-48.31	63.49
051	44.73	-60.33	42.64
057	40.09	-49.08	15.74
063	23.80	-30.38	0.00
069	15.85	-23.23	-24.35
075	8.77	-10.92	-39.14
081	5.04	-6.27	-48.24
087	2.66	-2.91	-59.43
093	1.45	-1.53	-69.84
099	0.79	-0.81	-78.76
105	0.48	-0.51	-85.48
111	0.26	-0.28	-90.00
117	0.14	-0.15	-93.00
123	0.07	-0.08	-94.50
129	0.04	-0.04	-95.00
135	0.02	-0.02	-95.00
141	0.01	-0.01	-95.00
147	0.00	0.00	-95.00
153	0.00	0.00	-95.00
159	0.00	0.00	-95.00
165	0.00	0.00	-95.00
171	0.00	0.00	-95.00
177	0.00	0.00	-95.00
183	0.00	0.00	-95.00
189	0.00	0.00	-95.0

Ein und Ausgabe: Farbmetrisches Drucker-Reflexiv-System FR509\_92a  
 Daten für jede Farbe:  
 $u^*c = 16$  und Nummer  $N_c = 00...15$   
 Elementar-Bunttonexte:  
 $u^*c = 16$  Bunttonexte  $r00r, r25j, \dots, b75r$   
 Kontrastreduzierungsfaktor:  
 $c_{kr} = 1.0$

FR509\_92a adaptierte CIELAB-Daten

$L^*$	$a^*$	$b^*$	$C_{ab}$	$h_{ab}$	$m_{ab}$
r00	35.47	63.32	30.17	70.15	25 m010
r25	39.12	54.56	49.45	73.64	42 o109
y50	50.64	39.15	64.89	75.79	59 o409
y75	64.01	21.26	82.83	85.52	76 o699
g00	83.18	-4.38	108.53	108.62	92 o989
g25	66.73	-29.89	83.06	88.28	110 y340
g50	54.03	-48.33	63.49	79.78	127 o999
g75	44.73	-60.33	42.64	73.88	145 o806
g00	47.59	-49.08	15.74	51.54	162 i226
g25	48.97	-39.67	-6.72	40.27	190 i556
g50	51.85	-32.33	-24.35	40.48	217 i876
g75	47.50	-46.92	-17.29	-36.02	244 i206
g00	37.91	1.28	-42.35	42.37	272 c539
g25	23.81	30.38	-52.26	60.45	300 o876
g50	29.52	69.06	-42.14	80.19	329 o684
g75	36.48	71.47	-3.69	71.57	357 m346

R509\_92a adaptierte CIELAB-Daten

$L^*$	$a^*$	$b^*$	$C_{ab}$	$h_{ab}$	$m_{ab}$
000	35.06	60.00	44.0	74.4	36
025	83.77	-5.17	109.32	109.44	93
050	50.64	39.15	64.89	75.79	59
075	44.13	-62.67	48.24	79.09	142
100	52.66	-29.14	-31.99	43.27	228
125	64.01	21.26	82.83	85.52	76
150	83.18	-4.38	108.53	108.62	92
175	66.73	-29.89	83.06	88.28	110
200	54.03	-48.33	63.49	79.78	127
225	44.73	-60.33	42.64	73.88	145
250	47.59	-49.08	15.74	51.54	162
275	48.97	-39.67	-6.72	40.27	190
300	51.85	-32.33	-24.35	40.48	217
325	47.50	-46.92	-17.29	-36.02	244
350	37.91	1.28	-42.35	42.37	272
375	23.81	30.38	-52.26	60.45	300
400	29.52	69.06	-42.14	80.19	329
425	36.48	71.47	-3.69	71.57	357

Ein und Ausgabe: Farbmetrisches Drucker-Reflexiv-System FR509\_92\_1...09\_92 für relativen CIELAB-Buntton  $h^* = lab^*h^* = h_{ab}/360 = 0.071$   $u^*c = r00j$   
 Daten für jede Farbe:  
 $lab^*c^*$  und  $lab^*i^*c^*$   
 Bunttonexte:  
 $u^*c = r00j$   $u^*a = m810$   
 Kontrastreduzierungsfaktor:  
 $c_{kr} = 1.0$   
 Dreiecks-Helligkeit  $i^*$

FR509\_92a adaptierte CIELAB-Daten

$L^*$	$a^*$	$b^*$	$C_{ab}$	$h_{ab}$	$m_{ab}$
000	35.06	60.00	44.0	74.4	36
025	83.77	-5.17	109.32	109.44	93
050	50.64	39.15	64.89	75.79	59
075	44.13	-62.67	48.24	79.09	142
100	52.66	-29.14	-31.99	43.27	228
125	64.01	21.26	82.83	85.52	76
150	83.18	-4.38	108.53	108.62	92
175	66.73	-29.89	83.06	88.28	110
200	54.03	-48.33	63.49	79.78	127
225	44.73	-60.33	42.64	73.88	145
250	47.59	-49.08	15.74	51.54	162
275	48.97	-39.67	-6.72	40.27	190
300	51.85	-32.33	-24.35	40.48	217
325	47.50	-46.92	-17.29	-36.02	244
350	37.91	1.28	-42.35	42.37	272
375	23.81	30.38	-52.26	60.45	300
400	29.52	69.06	-42.14	80.19	329
425	36.48	71.47	-3.69	71.57	357

Daten für Maximalfarbe (Ma):

$L^*$	$a^*$	$b^*$	$C_{ab}$	$h_{ab}$	$m_{ab}$
LAB*/LAB*/Ma: 35 63 30	35.06	60.00	44.0	74.4	36
LAB*/LCH*/Ma: 1.0 0.0 0.18	35.06	60.00	44.0	74.4	36
lab*/lab*/Ma: 1.0 0.0 0.18	35.06	60.00	44.0	74.4	36
lab*/lch*/Ma: 1.0 0.0 0.18	35.06	60.00	44.0	74.4	36

R509\_92a adaptierte CIELAB-Daten

$L^*$	$a^*$	$b^*$	$C_{ab}$	$h_{ab}$	$m_{ab}$
000	35.06	60.00	44.0	74.4	36
025	83.77	-5.17	109.32	109.44	93
050	50.64	39.15	64.89	75.79	59
075	44.13	-62.67	48.24	79.09	142
100	52.66	-29.14	-31.99	43.27	228
125	64.01	21.26	82.83	85.52	76
150	83.18	-4.38	108.53	108.62	92
175	66.73	-29.89	83.06	88.28	110
200	54.03	-48.33	63.49	79.78	127
225	44.73	-60.33	42.64	73.88	145
250	47.59	-49.08	15.74	51.54	162
275	48.97	-39.67	-6.72	40.27	190
300	51.85	-32.33	-24.35	40.48	217
325	47.50	-46.92	-17.29	-36.02	244
350	37.91	1.28	-42.35	42.37	272
375	23.81	30.38	-52.26	60.45	300
400	29.52	69.06	-42.14	80.19	329
425	36.48	71.47	-3.69	71.57	357

Daten für Maximalfarbe (Ma):

$L^*$	$a^*$	$b^*$	$C_{ab}$	$h_{ab}$	$m_{ab}$
LAB*/LAB*/Ma: 35 63 30	35.06	60.00	44.0	74.4	36
LAB*/LCH*/Ma: 1.0 0.0 0.18	35.06	60.00	44.0	74.4	36
lab*/lab*/Ma: 1.0 0.0 0.18	35.06	60.00	44.0	74.4	36
lab*/lch*/Ma: 1.0 0.0 0.18	35.06	60.00	44.0	74.4	36

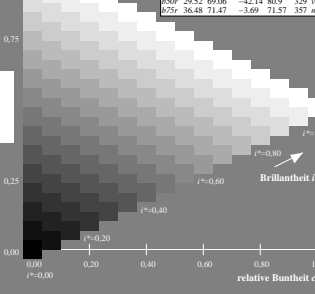
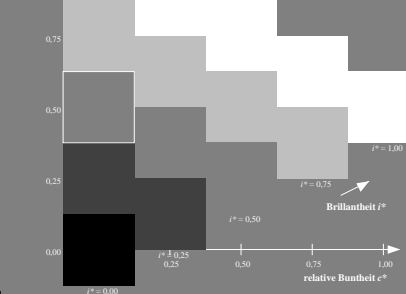
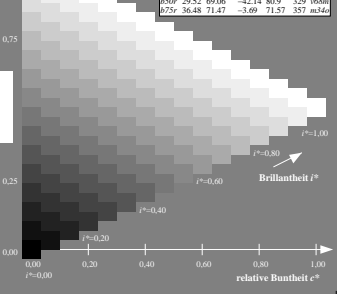
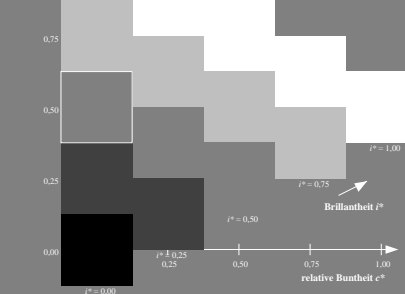
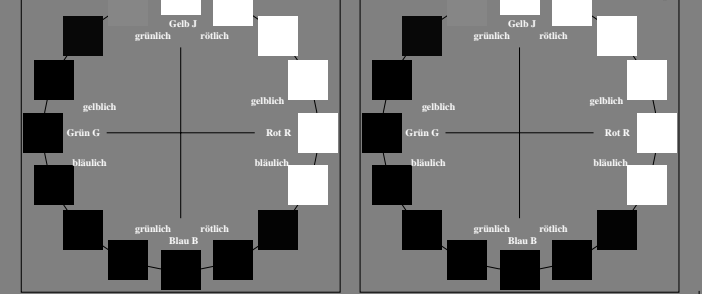
Ein und Ausgabe: Farbmetrisches Drucker-Reflexiv-System FR509\_92\_1...09\_92 für relativen CIELAB-Buntton  $h^* = lab^*h^* = h_{ab}/360 = 0.117$   $u^*c = r25j$   
 Daten für jede Farbe:  
 $lab^*c^*$  und  $lab^*i^*c^*$   
 Bunttonexte:  
 $u^*c = r25j$   $u^*a = o109$   
 Kontrastreduzierungsfaktor:  
 $c_{kr} = 1.0$   
 Dreiecks-Helligkeit  $i^*$

FR509\_92a adaptierte CIELAB-Daten

$L^*$	$a^*$	$b^*$	$C_{ab}$	$h_{ab}$	$m_{ab}$
000	35.06	60.00	44.0	74.4	36
025	83.77	-5.17	109.32	109.44	93
050	50.64	39.15	64.89	75.79	59
075	44.13	-62.67	48.24	79.09	142
100	52.66	-29.14	-31.99	43.27	228
125	64.01	21.26	82.83	85.52	76
150	83.18	-4.38	108.53	108.62	92
175	66.73	-29.89	83.06	88.28	110
200	54.03	-48.33	63.49	79.78	127
225	44.73	-60.33	42.64	73.88	145
250	47.59	-49.08	15.74	51.54	162
275	48.97	-39.67	-6.72	40.27	190
300	51.85	-32.33	-24.35	40.48	217
325	47.50	-46.92	-17.29	-36.02	244
350	37.91	1.28	-42.35	42.37	272
375	23.81	30.38	-52.26	60.45	300
400	29.52	69.06	-42.14	80.19	329
425	36.48	71.47	-3.69	71.57	357

Daten für Maximalfarbe (Ma):

$L^*$	$a^*$	$b^*$	$C_{ab}$	$h_{ab}$	$m_{ab}$
LAB*/LAB*/Ma: 39 74 42	39.12	54.56	49.45	73.64	42
LAB*/LCH*/Ma: 1.0 0.25 0.0	39.12	54.56	49.45	73.64	42
lab*/lab*/Ma: 1.0 0.25 0.0	39.12	54.56	49.45	73.64	42
lab*/lch*/Ma: 1.0 0.25 0.0	39.12	54.56	49.45	73.64	42



Ein und Ausgabe: Farbmetrisches Drucker-Reflexiv-System FR509\_92\_1...09\_92 für relativen CIELAB-Buntton  $h^* = lab^*h^* = h_{ab}/360 = 0.164$   $u^*c = r50j$   
 Daten für jede Farbe:  
 $lab^*c^*$  und  $lab^*i^*c^*$   
 Bunttonexte:  
 $u^*c = r50j$   $u^*a = o409$   
 Kontrastreduzierungsfaktor:  
 $c_{kr} = 1.0$   
 Dreiecks-Helligkeit  $i^*$

FR509\_92a adaptierte CIELAB-Daten

$L^*$	$a^*$	$b^*$	$C_{ab}$	$h_{ab}$	$m_{ab}$
000	35.06	60.00	44.0	74.4	36
025	83.77	-5.17	109.32	109.44	93
050	50.64	39.15	64.89	75.79	59
075	44.13	-62.67	48.24	79.09	142
100	52.66	-29.14	-31.99	43.27	228
125	64.01	21.26	82.83	85.52	76
150	83.18	-4.38	108.53	108.62	92
175	66.73	-29.89	83.06	88.28	110
200	54.03	-48.33	63.49	79.78	127
225	44.73	-60.33	42.64	73.88	145
250	47.59	-49.08	15.74	51.54	162
275	48.97	-39.67	-6.72	40.27	190
300	51.85	-32.33	-24.35	40.48	217
325	47.50	-46.92	-17.29	-36.02	244
350	37.91	1.28	-42.35	42.37	272
375	23.81	30.38	-52.26	60.45	300
400	29.52	69.06	-42.14	80.19	329
425	36.48	71.47	-3.69	71.57	357

Daten für Maximalfarbe (Ma):

$L^*$	$a^*$	$b^*$	$C_{ab}$	$h_{ab}$	$m_{ab}$
LAB*/LAB*/Ma: 51 39 65	51.85	-32.33	-24.35	40.48	217
LAB*/LCH*/Ma: 1.0 0.5 0.0	51.85	-32.33	-24.35	40.48	217
lab*/lab*/Ma: 1.0 0.5 0.0	51.85	-32.33	-24.35	40.48	217
lab*/lch*/Ma: 1.0 0.5 0.0	51.85	-32.33	-24.35	40.48	217

Ein und Ausgabe: Farbmetrisches Drucker-Reflexiv-System FR509\_92\_1...09\_92 für relativen CIELAB-Buntton  $h^* = lab^*h^* = h_{ab}/360 = 0.21$   $u^*c = r75j$   
 Daten für jede Farbe:  
 $lab^*c^*$  und  $lab^*i^*c^*$   
 Bunttonexte:  
 $u^*c = r75j$   $u^*a = o699$   
 Kontrastreduzierungsfaktor:  
 $c_{kr} = 1.0$   
 Dreiecks-Helligkeit  $i^*$

FR509\_92a adaptierte CIELAB-Daten

$L^*$	$a^*$	$b^*$	$C_{ab}$	$h_{ab}$	$m_{ab}$
000	35.06	60.00	44.0	74.4	36
025	83.77	-5.17	109.32	109.44	93
050	50.64	39.15	64.89	75.79	59
075	44.13	-62.67	48.24	79.09	142
100	52.66	-29.14	-31.99	43.27	228
125	64.01	21.26	82.83	85.52	76
150	83.18	-4.38	108.53	108.62	92
175	66.73	-29.89	83.06	88.28	110
200	54.03	-48.33	63.49	79.78	127
225	44.73	-60.33	42.64	73.88	145
250	47.59	-49.08	15.74	51.54	162
275	48.97	-39.67	-6.72	40.27	190
300	51.85	-32.33	-24.35	40.48	217
325	47.50	-46.92	-17.29	-36.02	244
350	37.91	1.28	-42.35	42.37	272
375	23.81	30.38	-52.26	60.45	300
400	29.52	69.06	-42.14	80.19	329
425	36.48	71.47	-3.69	71.57	357

Daten für Maximalfarbe (Ma):

$L^*$	$a^*$	$b^*$	$C_{ab}$	$h_{ab}$	$m_{ab}$
LAB*/LAB*/Ma: 64 21 83	64.01	21.26	82.83		

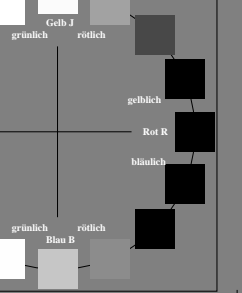
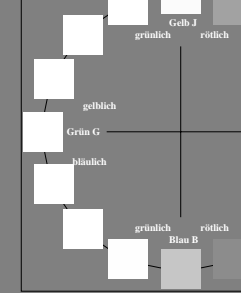
Ein und Ausgabe: Farbmetrisches Drucker-Reflexiv-System FR509\_92a  
 Daten für jede Farbe:  
 $u^*c = 16$  Bunttoner  $r00j, r25j, \dots, b75r$   
 Kontrastreduzierungsfaktor:  
 $c_k = 1.0$

RS09\_92a adaptierte CIELAB-Daten  
 $L^* \quad a^* \quad b^* \quad C_{ab}^* \quad h_{ab}^*$

000	35.47	63.32	30.17	70.15	25	m010	
25j	39.12	54.56	49.45	73.64	42	o109	
50j	50.64	39.15	64.89	75.79	59	o409	
75j	64.01	21.26	82.83	85.52	76	o699	
100	83.18	-4.38	108.53	108.62	92	o989	
125j	66.73	-29.89	83.06	88.28	110	y340	
150j	54.03	-48.31	63.49	79.78	127	o990	
175j	44.73	-60.33	42.64	73.88	145	036i	
200j	47.59	-49.08	15.74	51.54	162	226i	
225j	42.98	49.97	-39.7	-6.72	40.27	190	155i
250j	51.85	-32.33	-24.35	40.48	217	076i	
275j	47.98	-46.92	-17.29	-36.02	39.96	244	209i
300j	37.91	1.28	-42.35	42.37	272	c59i	
325j	23.81	30.38	-52.26	60.45	300	o87i	
350j	29.52	69.06	-42.14	80.9	329	o68i	
375j	36.48	71.47	-3.69	71.57	357	m34i	

RS09\_92a adaptierte CIELAB-Daten  
 $L^* \quad L^*a^*b^* \quad C_{ab}^* \quad h_{ab}^*$

000	35.06	60.0	44.0	74.4	36	
25j	38.77	-5.17	109.32	109.44	93	
50j	44.13	-62.67	48.24	79.09	142	
75j	52.66	-29.14	-31.99	43.27	228	
100	83.18	-4.38	-99.43	73.57	310	
125j	67.37	78.64	-33.5	85.48	337	
150j	52.02	0.0	0.0	0.0	0	
175j	39.92	58.74	27.99	65.07	25	
200j	81.26	-2.89	71.56	71.62	92	
225j	50.8	-32.33	-24.35	40.48	217	
250j	47.98	-46.92	-17.29	-36.02	39.96	
275j	37.91	1.28	-42.35	42.37	272	
300j	23.81	30.38	-52.26	60.45	300	
325j	29.52	69.06	-42.14	80.9	329	
350j	36.48	71.47	-3.69	71.57	357	



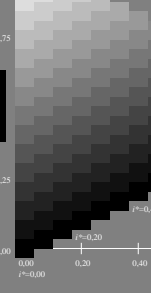
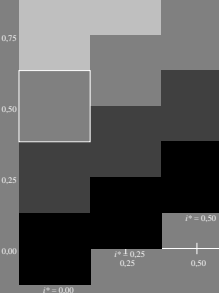
Ein und Ausgabe: Farbmetrisches Drucker-Reflexiv-System FR509\_92\_1...92 für relativen CIELAB-Buntton  $h^* = lab^*h^* = h_{ab}^*/360 = 0.071$   $u^*c = r00j$   
 Daten für jede Farbe:  
 $lab^*c^*$  und  $lab^*c^*u^*$   
 Bunttonexte:  
 $u^*c = r00j$   $u^*a = m810$   
 Kontrastreduzierungsfaktor:  
 $c_k = 1.0$   
 Dreiecks-Helligkeit  $l^*$

RS09\_92a adaptierte CIELAB-Daten  
 $L^* \quad L^*a^*b^* \quad C_{ab}^* \quad h_{ab}^*$

000	35.06	60.0	44.0	74.4	36	
25j	38.77	-5.17	109.32	109.44	93	
50j	44.13	-62.67	48.24	79.09	142	
75j	52.66	-29.14	-31.99	43.27	228	
100	83.18	-4.38	-99.43	73.57	310	
125j	67.37	78.64	-33.5	85.48	337	
150j	52.02	0.0	0.0	0.0	0	
175j	39.92	58.74	27.99	65.07	25	
200j	81.26	-2.89	71.56	71.62	92	
225j	50.8	-32.33	-24.35	40.48	217	
250j	47.98	-46.92	-17.29	-36.02	39.96	
275j	37.91	1.28	-42.35	42.37	272	
300j	23.81	30.38	-52.26	60.45	300	
325j	29.52	69.06	-42.14	80.9	329	
350j	36.48	71.47	-3.69	71.57	357	

RS09\_92a adaptierte CIELAB-Daten  
 $L^* \quad L^*a^*b^* \quad C_{ab}^* \quad h_{ab}^*$

000	35.06	60.0	44.0	74.4	36	
25j	38.77	-5.17	109.32	109.44	93	
50j	44.13	-62.67	48.24	79.09	142	
75j	52.66	-29.14	-31.99	43.27	228	
100	83.18	-4.38	-99.43	73.57	310	
125j	67.37	78.64	-33.5	85.48	337	
150j	52.02	0.0	0.0	0.0	0	
175j	39.92	58.74	27.99	65.07	25	
200j	81.26	-2.89	71.56	71.62	92	
225j	50.8	-32.33	-24.35	40.48	217	
250j	47.98	-46.92	-17.29	-36.02	39.96	
275j	37.91	1.28	-42.35	42.37	272	
300j	23.81	30.38	-52.26	60.45	300	
325j	29.52	69.06	-42.14	80.9	329	
350j	36.48	71.47	-3.69	71.57	357	



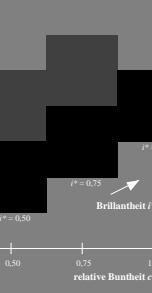
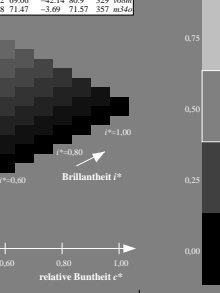
Ein und Ausgabe: Farbmetrisches Drucker-Reflexiv-System FR509\_92\_1...92 für relativen CIELAB-Buntton  $h^* = lab^*h^* = h_{ab}^*/360 = 0.117$   $u^*c = r25j$   
 Daten für jede Farbe:  
 $lab^*c^*$  und  $lab^*c^*u^*$   
 Bunttonexte:  
 $u^*c = r25j$   $u^*a = o109$   
 Kontrastreduzierungsfaktor:  
 $c_k = 1.0$   
 Dreiecks-Helligkeit  $l^*$

RS09\_92a adaptierte CIELAB-Daten  
 $L^* \quad L^*a^*b^* \quad C_{ab}^* \quad h_{ab}^*$

000	35.06	60.0	44.0	74.4	36	
25j	38.77	-5.17	109.32	109.44	93	
50j	44.13	-62.67	48.24	79.09	142	
75j	52.66	-29.14	-31.99	43.27	228	
100	83.18	-4.38	-99.43	73.57	310	
125j	67.37	78.64	-33.5	85.48	337	
150j	52.02	0.0	0.0	0.0	0	
175j	39.92	58.74	27.99	65.07	25	
200j	81.26	-2.89	71.56	71.62	92	
225j	50.8	-32.33	-24.35	40.48	217	
250j	47.98	-46.92	-17.29	-36.02	39.96	
275j	37.91	1.28	-42.35	42.37	272	
300j	23.81	30.38	-52.26	60.45	300	
325j	29.52	69.06	-42.14	80.9	329	
350j	36.48	71.47	-3.69	71.57	357	

RS09\_92a adaptierte CIELAB-Daten  
 $L^* \quad L^*a^*b^* \quad C_{ab}^* \quad h_{ab}^*$

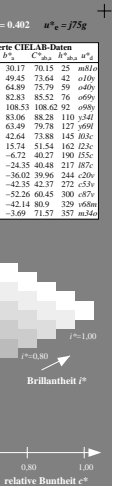
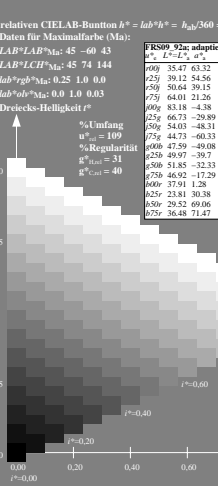
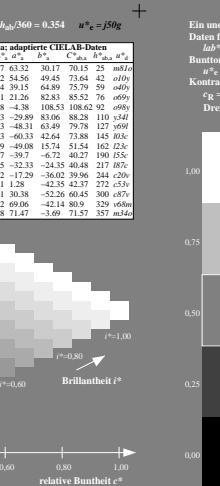
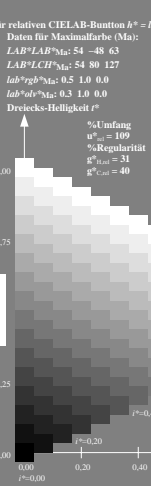
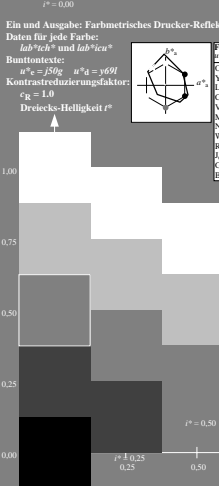
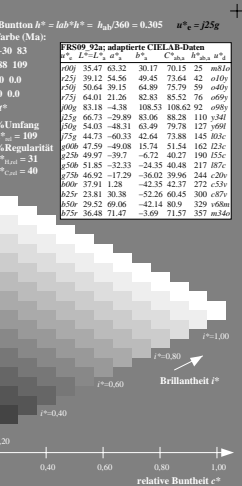
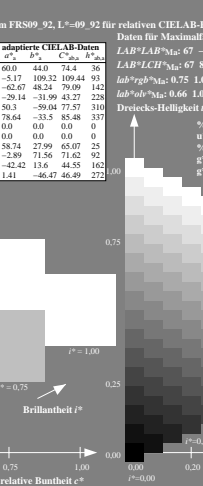
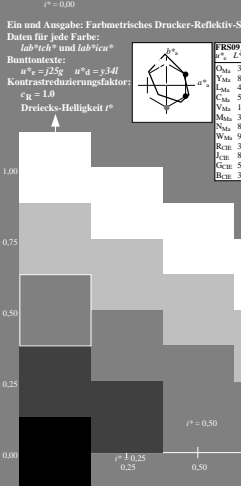
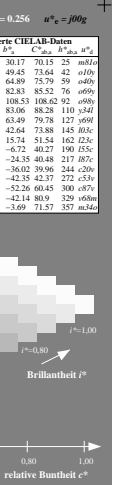
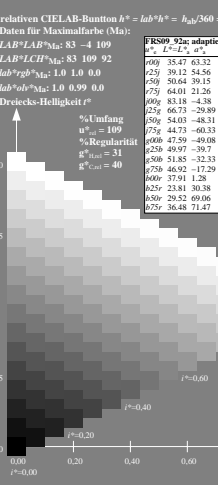
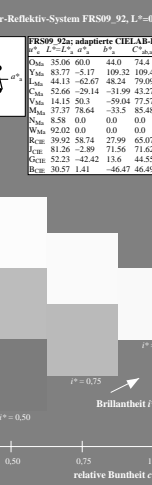
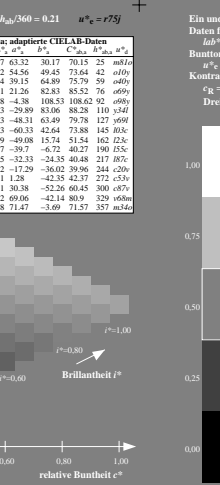
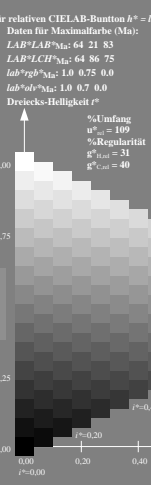
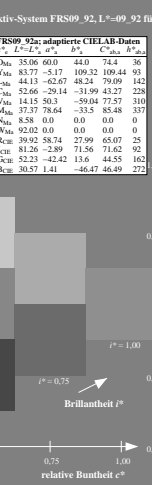
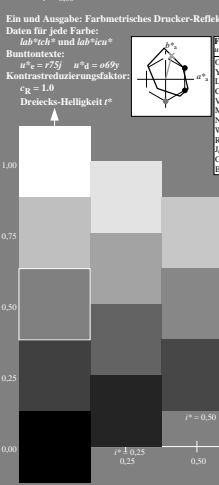
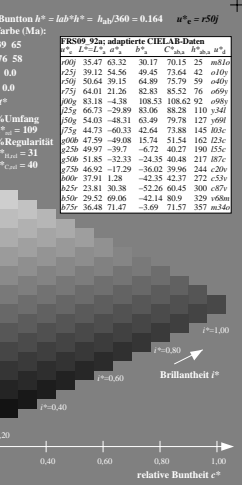
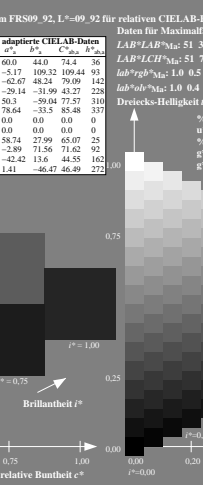
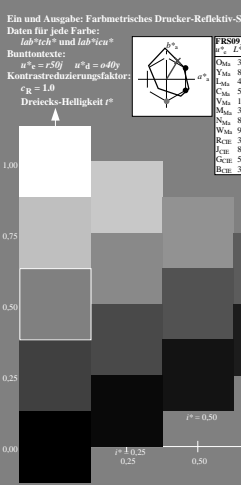
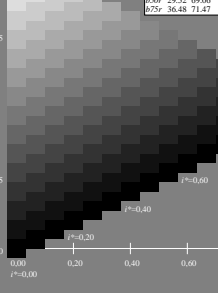
000	35.06	60.0	44.0	74.4	36	
25j	38.77	-5.17	109.32	109.44	93	
50j	44.13	-62.67	48.24	79.09	142	
75j	52.66	-29.14	-31.99	43.27	228	
100	83.18	-4.38	-99.43	73.57	310	
125j	67.37	78.64	-33.5	85.48	337	
150j	52.02	0.0	0.0	0.0	0	
175j	39.92	58.74	27.99	65.07	25	
200j	81.26	-2.89	71.56	71.62	92	
225j	50.8	-32.33	-24.35	40.48	217	
250j	47.98	-46.92	-17.29	-36.02	39.96	
275j	37.91	1.28	-42.35	42.37	272	
300j	23.81	30.38	-52.26	60.45	300	
325j	29.52	69.06	-42.14	80.9	329	
350j	36.48	71.47	-3.69	71.57	357	



Ein und Ausgabe: Farbmetrisches Drucker-Reflexiv-System FR509\_92\_1...92 für relativen CIELAB-Buntton  $h^* = lab^*h^* = h_{ab}^*/360 = 0.164$   $u^*c = r50j$   
 Daten für jede Farbe:  
 $lab^*c^*$  und  $lab^*c^*u^*$   
 Bunttonexte:  
 $u^*c = r50j$   $u^*a = o409$   
 Kontrastreduzierungsfaktor:  
 $c_k = 1.0$   
 Dreiecks-Helligkeit  $l^*$

RS09\_92a adaptierte CIELAB-Daten  
 $L^* \quad L^*a^*b^* \quad C_{ab}^* \quad h_{ab}^*$

000	35.06	60.0	44.0	74.4	36	
25j	38.77	-5.17	109.32	109.44	93	
50j	44.13	-62.67	48.24	79.09	142	
75j	52.66	-29.14	-31.99	43.27	228	
100	83.18	-4.38	-99.43	73.57	310	
125j	67.37	78.64	-33.5	85.48	337	
150j	52.02	0.0	0.0	0.0	0	
175j	39.92	58.74	27.99	65.07	25	
200j	81.26	-2.89	71.56	71.62	92	
225j	50.8	-32.33	-24.35	40.48	217	
250j	47.98	-46.92	-17.29	-36.02	39.96	
275j	37.91	1.28	-42.35	42.37	272	
300j	23.81	30.38	-52.26	60.45	300	
325j	29.52	69.06	-42.14	80.9	329	
350j	36.48	71.47	-3.69	71.57	357	



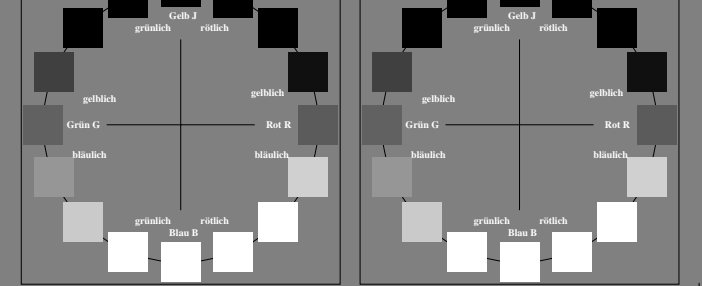
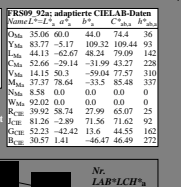
Ein und Ausgabe: Farbmetrisches Drucker-Reflexiv-System FR509\_92a  
 Daten für jede Farbe:  
 $u^*c =$  und Nummer  $N_c = 00...15$   
 Elementar-Bunttonexte:  
 $u^*c = 16$  Bunttonexte  $r00r, r25j, \dots, b75r$   
 Kontrastreduzierungsfaktor:  
 $c_{kr} = 1.0$

FR509\_92a adaptierte CIELAB-Daten  
 $L^* \ L^*a^* \ L^*b^* \ C_{ab}^* \ h_{ab}^*$

000	35.47	63.32	30.17	70.15	25	m810
25j	39.12	54.56	49.45	73.64	42	o109
50a	50.64	39.15	64.89	75.79	59	o409
75j	64.01	21.26	82.83	85.52	76	o699
100	83.18	-4.38	108.53	108.62	92	o989
125g	66.73	-29.89	83.06	88.28	110	y34f
150	54.03	-48.33	63.49	79.78	127	o90f
175g	44.73	-60.33	42.64	73.88	145	803c
200g	47.59	-49.08	15.74	51.54	162	226c
225g	48.97	-39.67	-6.72	40.27	180	155c
250g	51.85	-32.33	-24.35	40.48	217	876c
275g	46.92	-17.29	-36.02	39.96	244	209c
300g	37.91	1.28	-42.35	42.37	272	c59f
325r	23.81	30.38	-52.26	60.45	300	o87f
350r	29.52	69.06	-42.14	80.19	329	o68f
375r	36.48	71.47	-3.69	71.57	357	m34f

FR509\_92a adaptierte CIELAB-Daten  
 $N_m \ L^*a^* \ L^*b^* \ C_{ab}^* \ h_{ab}^*$

000	35.06	60.00	44.00	74.40	36	
25j	83.77	-5.17	109.32	109.44	93	
50a	44.13	-62.67	48.24	79.09	142	
75j	52.66	-29.14	-31.99	43.27	228	
100	14.15	50.33	-59.04	77.57	310	
125g	37.37	78.64	-33.5	85.48	337	
150	92.02	0.00	0.00	0.00	0	
175g	39.92	58.74	27.99	65.07	25	
200g	81.26	-2.89	71.56	71.62	92	
225g	58.15	-32.33	-24.35	40.48	217	
250g	46.92	-17.29	-36.02	39.96	244	
275g	37.91	1.28	-42.35	42.37	272	
300g	23.81	30.38	-52.26	60.45	300	
325r	29.52	69.06	-42.14	80.19	329	
350r	36.48	71.47	-3.69	71.57	357	



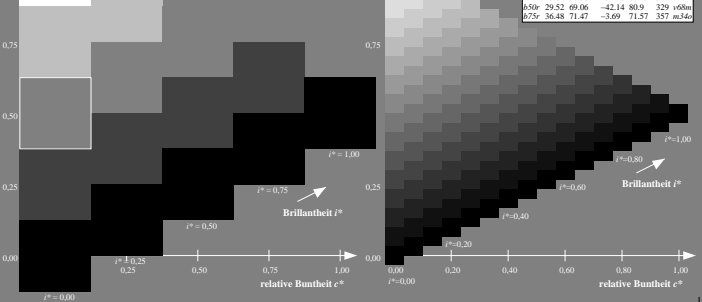
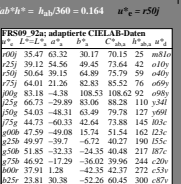
Ein und Ausgabe: Farbmetrisches Drucker-Reflexiv-System FR509\_92b  
 Daten für jede Farbe:  
 $u^*c =$  und Nummer  $N_c = 00...15$   
 Elementar-Bunttonexte:  
 $u^*c = 16$  Bunttonexte  $r00r, r25j, \dots, b75r$   
 Kontrastreduzierungsfaktor:  
 $c_{kr} = 1.0$

FR509\_92a adaptierte CIELAB-Daten  
 $L^* \ L^*a^* \ L^*b^* \ C_{ab}^* \ h_{ab}^*$

000	35.47	63.32	30.17	70.15	25	m810
25j	39.12	54.56	49.45	73.64	42	o109
50a	50.64	39.15	64.89	75.79	59	o409
75j	64.01	21.26	82.83	85.52	76	o699
100	83.18	-4.38	108.53	108.62	92	o989
125g	66.73	-29.89	83.06	88.28	110	y34f
150	54.03	-48.33	63.49	79.78	127	o90f
175g	44.73	-60.33	42.64	73.88	145	803c
200g	47.59	-49.08	15.74	51.54	162	226c
225g	48.97	-39.67	-6.72	40.27	180	155c
250g	51.85	-32.33	-24.35	40.48	217	876c
275g	46.92	-17.29	-36.02	39.96	244	209c
300g	37.91	1.28	-42.35	42.37	272	c59f
325r	23.81	30.38	-52.26	60.45	300	o87f
350r	29.52	69.06	-42.14	80.19	329	o68f
375r	36.48	71.47	-3.69	71.57	357	m34f

FR509\_92a adaptierte CIELAB-Daten  
 $N_m \ L^*a^* \ L^*b^* \ C_{ab}^* \ h_{ab}^*$

000	35.06	60.00	44.00	74.40	36	
25j	83.77	-5.17	109.32	109.44	93	
50a	44.13	-62.67	48.24	79.09	142	
75j	52.66	-29.14	-31.99	43.27	228	
100	14.15	50.33	-59.04	77.57	310	
125g	37.37	78.64	-33.5	85.48	337	
150	92.02	0.00	0.00	0.00	0	
175g	39.92	58.74	27.99	65.07	25	
200g	81.26	-2.89	71.56	71.62	92	
225g	58.15	-32.33	-24.35	40.48	217	
250g	46.92	-17.29	-36.02	39.96	244	
275g	37.91	1.28	-42.35	42.37	272	
300g	23.81	30.38	-52.26	60.45	300	
325r	29.52	69.06	-42.14	80.19	329	
350r	36.48	71.47	-3.69	71.57	357	



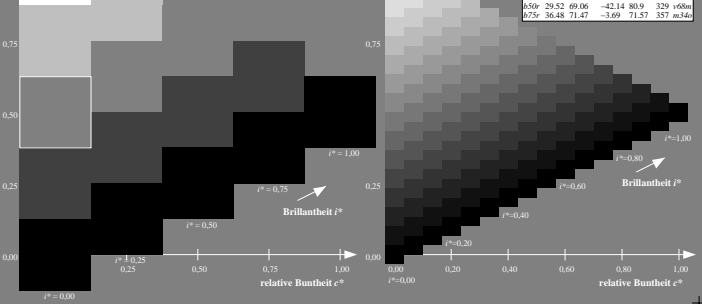
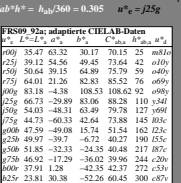
Ein und Ausgabe: Farbmetrisches Drucker-Reflexiv-System FR509\_92c  
 Daten für jede Farbe:  
 $u^*c =$  und Nummer  $N_c = 00...15$   
 Elementar-Bunttonexte:  
 $u^*c = 16$  Bunttonexte  $r00r, r25j, \dots, b75r$   
 Kontrastreduzierungsfaktor:  
 $c_{kr} = 1.0$

FR509\_92a adaptierte CIELAB-Daten  
 $L^* \ L^*a^* \ L^*b^* \ C_{ab}^* \ h_{ab}^*$

000	35.47	63.32	30.17	70.15	25	m810
25j	39.12	54.56	49.45	73.64	42	o109
50a	50.64	39.15	64.89	75.79	59	o409
75j	64.01	21.26	82.83	85.52	76	o699
100	83.18	-4.38	108.53	108.62	92	o989
125g	66.73	-29.89	83.06	88.28	110	y34f
150	54.03	-48.33	63.49	79.78	127	o90f
175g	44.73	-60.33	42.64	73.88	145	803c
200g	47.59	-49.08	15.74	51.54	162	226c
225g	48.97	-39.67	-6.72	40.27	180	155c
250g	51.85	-32.33	-24.35	40.48	217	876c
275g	46.92	-17.29	-36.02	39.96	244	209c
300g	37.91	1.28	-42.35	42.37	272	c59f
325r	23.81	30.38	-52.26	60.45	300	o87f
350r	29.52	69.06	-42.14	80.19	329	o68f
375r	36.48	71.47	-3.69	71.57	357	m34f

FR509\_92a adaptierte CIELAB-Daten  
 $N_m \ L^*a^* \ L^*b^* \ C_{ab}^* \ h_{ab}^*$

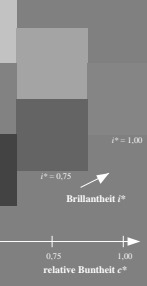
000	35.06	60.00	44.00	74.40	36	
25j	83.77	-5.17	109.32	109.44	93	
50a	44.13	-62.67	48.24	79.09	142	
75j	52.66	-29.14	-31.99	43.27	228	
100	14.15	50.33	-59.04	77.57	310	
125g	37.37	78.64	-33.5	85.48	337	
150	92.02	0.00	0.00	0.00	0	
175g	39.92	58.74	27.99	65.07	25	
200g	81.26	-2.89	71.56	71.62	92	
225g	58.15	-32.33	-24.35	40.48	217	
250g	46.92	-17.29	-36.02	39.96	244	
275g	37.91	1.28	-42.35	42.37	272	
300g	23.81	30.38	-52.26	60.45	300	
325r	29.52	69.06	-42.14	80.19	329	
350r	36.48	71.47	-3.69	71.57	357	



Ein und Ausgabe: Farbmetrisches Drucker-Reflexiv-System FR509\_92. L\* = 09\_92 für relative CIELAB-Buntton  $h^* = lab^*h^* = h_{ab}^*/360 = 0.071$   $u^*c = r00j$   
 Daten für jede Farbe:  
 $u^*c = r00j$   $u^*d = m810$   
 Kontrastreduzierungsfaktor:  
 $c_{kr} = 1.0$   
 Dreiecks-Helligkeit  $l^*$

FR509\_92a adaptierte CIELAB-Daten  
 $L^* \ L^*a^* \ L^*b^* \ C_{ab}^* \ h_{ab}^*$

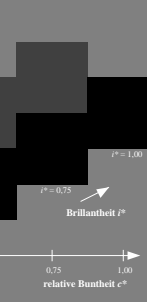
000	35.06	60.00	44.00	74.40	36	
25j	83.77	-5.17	109.32	109.44	93	
50a	44.13	-62.67	48.24	79.09	142	
75j	52.66	-29.14	-31.99	43.27	228	
100	14.15	50.33	-59.04	77.57	310	
125g	37.37	78.64	-33.5	85.48	337	
150	92.02	0.00	0.00	0.00	0	
175g	39.92	58.74	27.99	65.07	25	
200g	81.26	-2.89	71.56	71.62	92	
225g	58.15	-32.33	-24.35	40.48	217	
250g	46.92	-17.29	-36.02	39.96	244	
275g	37.91	1.28	-42.35	42.37	272	
300g	23.81	30.38	-52.26	60.45	300	
325r	29.52	69.06	-42.14	80.19	329	
350r	36.48	71.47	-3.69	71.57	357	



Ein und Ausgabe: Farbmetrisches Drucker-Reflexiv-System FR509\_92. L\* = 09\_92 für relative CIELAB-Buntton  $h^* = lab^*h^* = h_{ab}^*/360 = 0.21$   $u^*c = r25j$   
 Daten für jede Farbe:  
 $u^*c = r25j$   $u^*d = m679$   
 Kontrastreduzierungsfaktor:  
 $c_{kr} = 1.0$   
 Dreiecks-Helligkeit  $l^*$

FR509\_92a adaptierte CIELAB-Daten  
 $L^* \ L^*a^* \ L^*b^* \ C_{ab}^* \ h_{ab}^*$

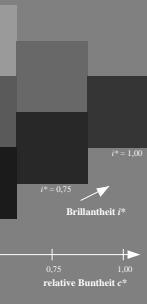
000	35.06	60.00	44.00	74.40	36	
25j	39.12	54.56	49.45	73.64	42	o109
50a	50.64	39.15	64.89	75.79	59	o409
75j	64.01	21.26	82.83	85.52	76	o699
100	83.18	-4.38	108.53	108.62	92	o989
125g	66.73	-29.89	83.06	88.28	110	y34f
150	54.03	-48.33	63.49	79.78	127	o90f
175g	44.73	-60.33	42.64	73.88	145	803c
200g	47.59	-49.08	15.74	51.54	162	226c
225g	48.97	-39.67	-6.72	40.27	180	155c
250g	51.85	-32.33	-24.35	40.48	217	876c
275g	46.92	-17.29	-36.02	39.96	244	209c
300g	37.91	1.28	-42.35	42.37	272	c59f
325r	23.81	30.38	-52.26	60.45	300	o87f
350r	29.52	69.06	-42.14	80.19	329	o68f
375r	36.48	71.47	-3.69	71.57	357	m34f



Ein und Ausgabe: Farbmetrisches Drucker-Reflexiv-System FR509\_92. L\* = 09\_92 für relative CIELAB-Buntton  $h^* = lab^*h^* = h_{ab}^*/360 = 0.354$   $u^*c = r50g$   
 Daten für jede Farbe:  
 $u^*c = r50g$   $u^*d = m69f$   
 Kontrastreduzierungsfaktor:  
 $c_{kr} = 1.0$   
 Dreiecks-Helligkeit  $l^*$

FR509\_92a adaptierte CIELAB-Daten  
 $L^* \ L^*a^* \ L^*b^* \ C_{ab}^* \ h_{ab}^*$

000	35.06	60.00	44.00	74.40	36	
25j	39.12	54.56	49.45	73.64	42	o109
50a	50.64	39.15	64.89	75.79	59	o409
75j	64.01	21.26	82.83	85.52	76	o699
100	83.18	-4.38	108.53	108.62	92	o989
125g	66.73	-29.89	83.06	88.28	110	y34f
150	54.03	-48.33	63.49	79.78	127	o90f
175g	44.73	-60.33	42.64	73.88	145	803c
200g	47.59	-49.08	15.74	51.54	162	226c
225g	48.97	-39.67	-6.72	40.27	180	155c
250g	51.85	-32.33	-24.35	40.48	217	876c
275g	46.92	-17.29	-36.02	39.96	244	209c
300g	37.91	1.28	-42.35	42.37	272	c59f
325r	23.81	30.38	-52.26	60.45	300	o87f
350r	29.52	69.06	-42.14	80.19	329	o68f
375r	36.48	71.47	-3.69	71.57	357	m34f



Ein und Ausgabe: Farbmetrisches Drucker-Reflexiv-System FR509\_92. L\* = 09\_92 für relative CIELAB-Buntton  $h^* = lab^*h^* = h_{ab}^*/360 = 0.71$   $u^*c = r100$   
 Daten für jede Farbe:  
 $u^*c = r100$   $u^*d = o109$   
 Kontrastreduzierungsfaktor:  
 $c_{kr} = 1.0$   
 Dreiecks-Helligkeit  $l^*$

FR50